

# Andre ordens system og vibrasjoner

- Hvordan måle
- Hvordan sette opp en modell
  - Sidespor – vibrasjoner
- Transferfunksjon
  - Elektrisk
  - Mekanisk
- Resonerende sensorer
- Section 3.14:  
Dynamic Models  
(Fraden)
- Section 8: Velocity  
and acceleration  
(Fraden)
- Section 9.3:  
Piezoelectric force  
sensors
- Section 17.4.4:  
Chemical sensors

# Transferfunksjon og impedans

I mekanikk er

- Transferfunksjonen forholdet mellom posisjon og kraft
- Impedans forholdet mellom hastighet og kraft

I elektronikk er (ofte)

- Transferfunksjonen forholdet mellom inngang og utgang
- Impedans forholdet mellom spenningen over kretsen og strømmen gjennom den

Fraden bruker transferfunksjon om den statiske karakteristikken til en sensor

# For et svingesystem (andre ordens system) trenger vi

- To steder å lagre energi
  - Kondensator (elektrostatisk energi) og spole (magnetisk energi)
  - Masse i bevegelse (kinetisk energi) og fjær (potensiell energi)
- I tillegg har vi vanligvis et sted der energien blir gjort om til varme
  - Motstand
  - Demper

# For å analysere et (svinge) system kan vi bruke

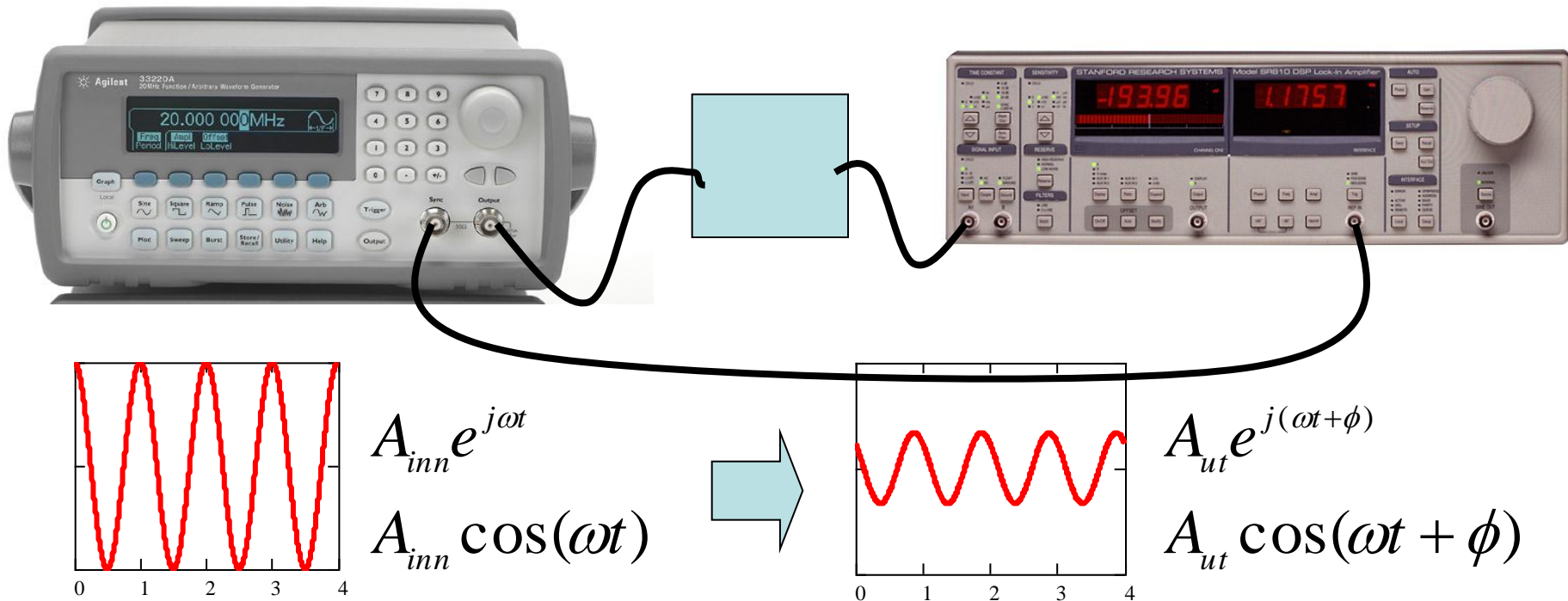
Signalgiver som gir et pådrag med bestemt

- (fase)
- frekvens
- amplitude

Analysator som kan finne

- fase
- amplitude
- (frekvens)

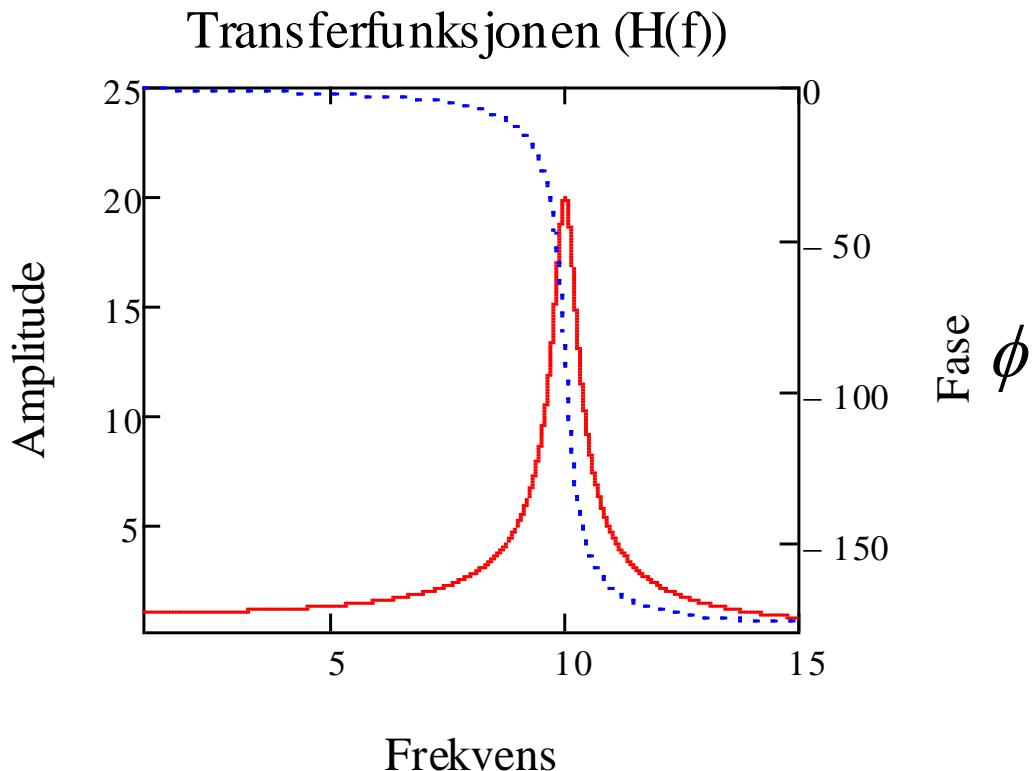
Av utgangssignalet



# Da kan vi finne transferfunksjonen

$$V_{ut}(\omega) = H(\omega)V_{in}(\omega)$$

$$\frac{A_{ut}}{A_{inn}}$$



Vinkelfrekvens  $\omega$  og frekvens  $f$  brukes om hverandre, ofte brukes  $\omega$  i teori og  $f$  i praksis. Husk at  $\omega=2\pi f$

# For å beskrive et svingesystem trenger vi

- Sammenheng mellom koordinatene

$$x = \int v \, dt \quad a = \frac{dv}{dt} \quad q = \int i \, dt \quad \frac{di}{dt} = \frac{di}{dt}$$

- Bevegelseslikninger

$$F = ma \quad Q = CV \quad V = L \frac{dI}{dt} \quad V = RI$$

$$F = -kx \quad F = -\gamma v$$

- Initialbetingelser og/eller pådrag

$$V(0) = 0 \quad f = f_0 e^{j\omega t}$$

# Position – velocity - acceleration

Oscillatory motion

$$\omega = 2\pi f$$

- Position

$$x(t) = x_0 e^{j\omega t}$$

- Velocity

$$v(t) = \frac{d}{dt} x_0 e^{j\omega t} = j\omega x_0 e^{j\omega t}$$

- Acceleration

$$a(t) = \frac{d^2}{dt^2} x_0 e^{j\omega t} = -\omega^2 x_0 e^{j\omega t}$$

Consequence 1:

low frequency -> measure position or velocity

high frequency -> measure acceleration

# Consequence 2

- Plotting position amplitude emphasizes low frequencies
- Plotting acceleration emphasizes high frequencies

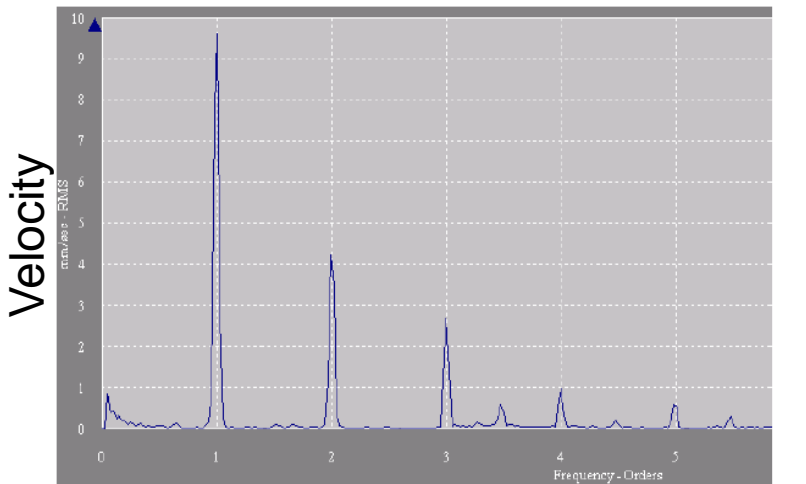


Fig 2: Misalignment Frequency

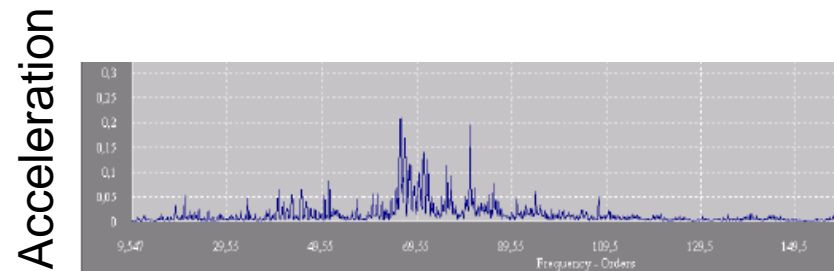
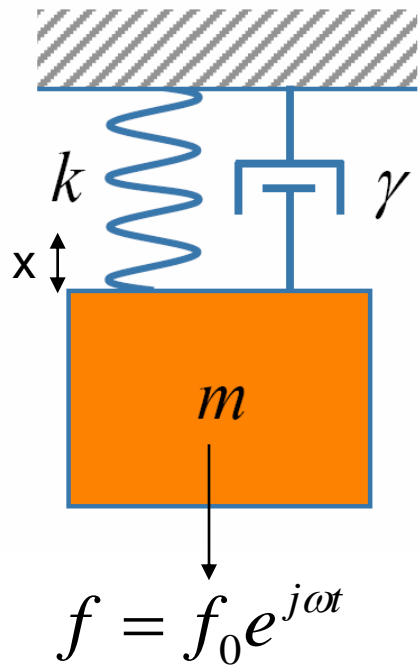


Fig 3: Bearing damage Frequency

Velocity is the usual compromise

# Mekanisk svingesystem



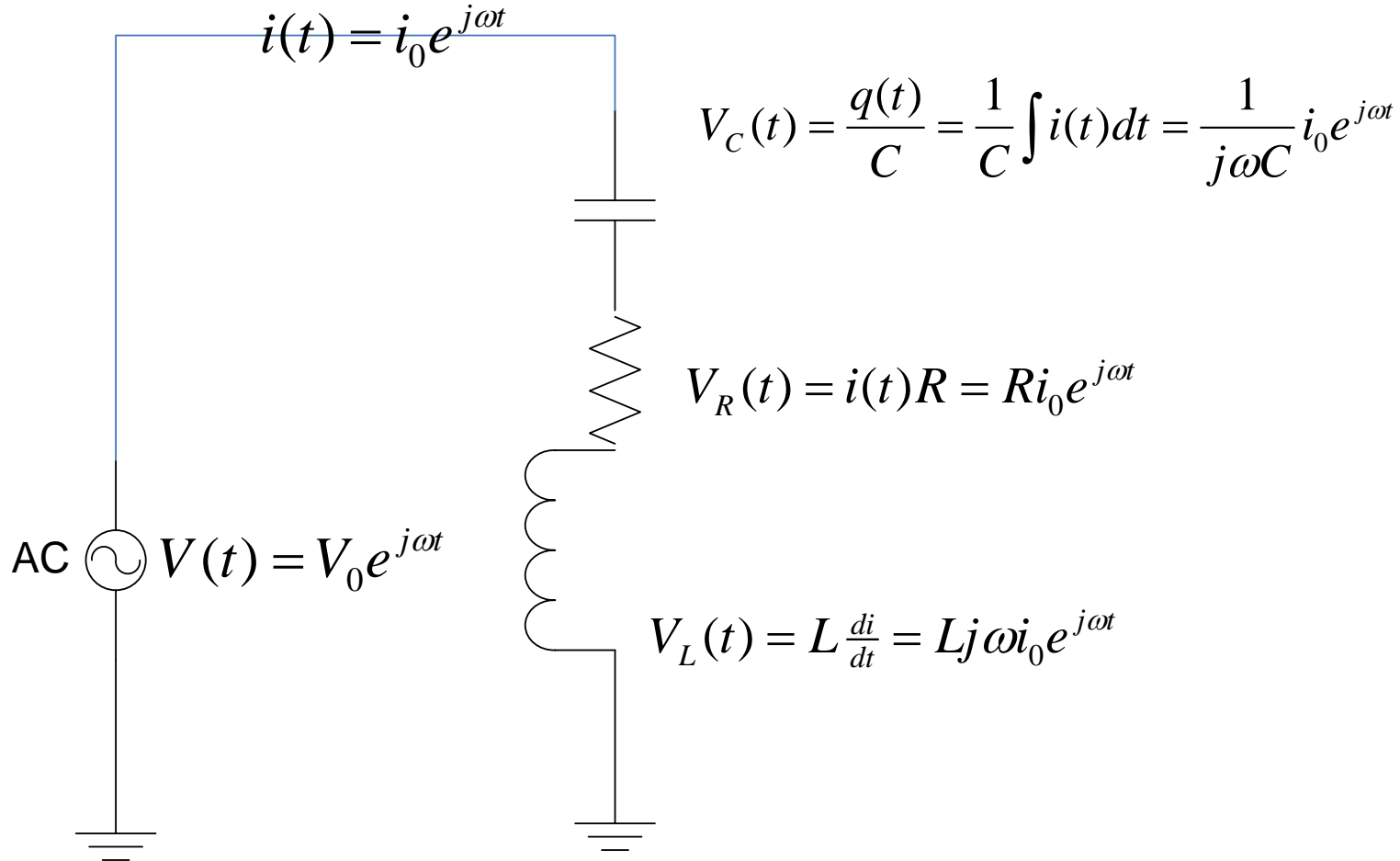
$$f = ma + \gamma v + kx$$

$$f_0 e^{j\omega t} = -m\omega^2 x_0 e^{j\omega t} + j\omega\gamma x_0 e^{j\omega t} + kx_0 e^{j\omega t}$$

$$f_0 e^{j\omega t} = (k + j\omega\gamma - m\omega^2) x_0 e^{j\omega t}$$

$$H(\omega) = \frac{x_0}{f_0} = \frac{1}{k + j\omega\gamma - m\omega^2}$$

# Elektrisk svingesystem



# Bevegelseslikningen

$$V_0 e^{j\omega t} = \frac{1}{j\omega C} i_0 e^{j\omega t} + R i_0 e^{j\omega t} + j\omega L i_0 e^{j\omega t}$$

$$V_0 e^{j\omega t} = \left( \frac{1}{C} + R j\omega - \omega^2 L \right) \frac{1}{j\omega} i_0 e^{j\omega t}$$

$$q(t) = \int i \, dt = \int i_0 e^{j\omega t} \, dt = \frac{1}{j\omega} i_0 e^{j\omega t}$$

$$V_0 e^{j\omega t} = \left( \frac{1}{C} + R j\omega - \omega^2 L \right) q_0 e^{j\omega t}$$

$$H(\omega) = \frac{q}{V_0} = \frac{1}{\frac{1}{C} + R j\omega - \omega^2 L}$$

# Resonansfrekvens

$$H(\omega) = \frac{x_0}{f_0} = \frac{1}{k + j\omega\gamma - m\omega^2}$$

$$H(\omega) = \frac{q}{V_0} = \frac{1}{\frac{1}{C} + Rj\omega - \omega^2 L}$$

Ved null dempning går transferfunksjonen mot uendelig når:

$$k = m\omega^2$$

$$\frac{1}{C} = L\omega^2$$

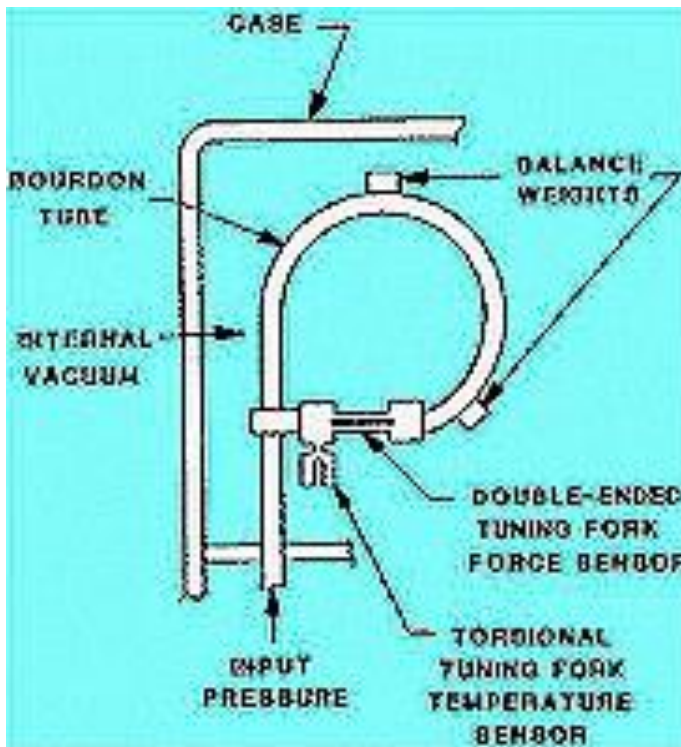
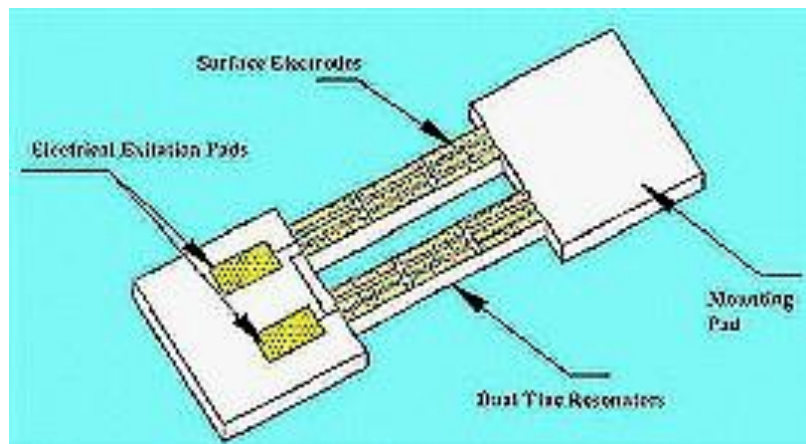
Innfører derfor udempet resonansfrekvens

$$\omega_0 = \sqrt{\frac{k}{m}}$$

$$\omega_0 = \sqrt{\frac{1}{LC}}$$

# Quartz pressure sensor

$$f = \frac{1}{2\pi} \sqrt{\frac{k + \Delta k}{M}}$$



# Quartz microbalance



$$f = \frac{1}{2\pi} \sqrt{\frac{k}{M + \Delta m}}$$

# Eksempler i boka - masse

588

17 Chemical Sensors

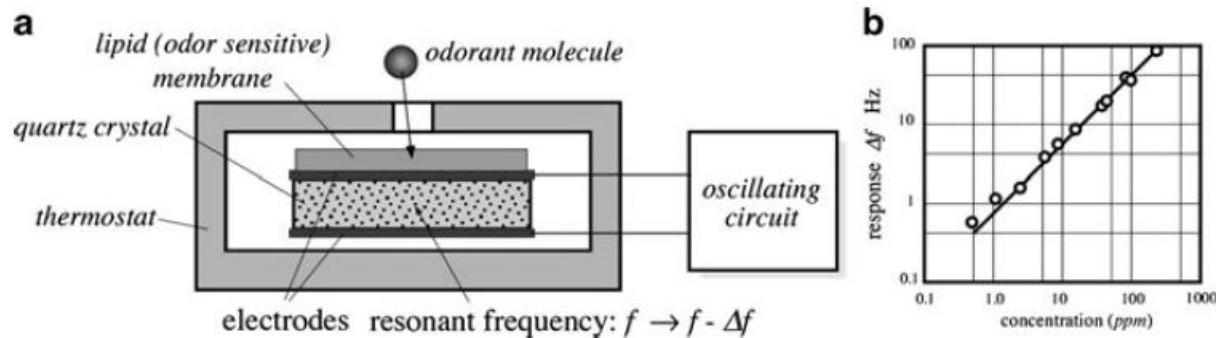


Fig. 17.14 Microbalance vapor sensor (a) and its transfer function (b) for amyłacetate gas

# - Kraft

Fig. 9.18 A piezoelectric disk resonator as a diametric force sensor

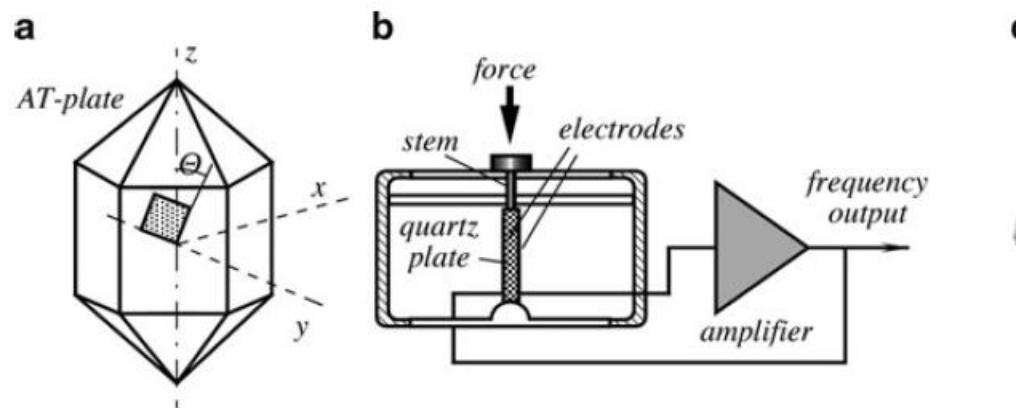
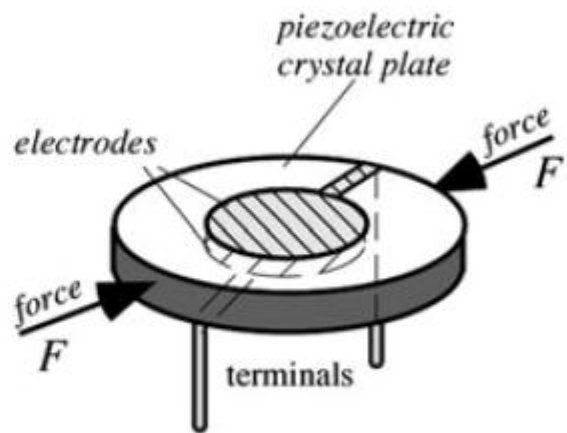


Fig. 9.19 Quartz force sensor AT-cut of a quartz crystal (a); structure of the sensor (b); outside appearance (c) (Courtesy of Quartzcell, Santa Barbara, CA)

# Q-faktor

$$H_a(\omega) = \frac{\frac{1}{m}}{\omega_0^2 + \frac{j\cdot\omega_0\cdot\omega}{Q} - \omega^2}$$

$$H_{\dot{.}}(\omega) = \frac{\frac{1}{L}}{\omega_{.0}^2 + \frac{1j\cdot\omega_{.0}\cdot\omega}{Q} - \omega^2}$$

$$Q = \frac{m \cdot \omega_0}{\gamma}$$

$$Q = \frac{\omega_{.0}}{RC}$$

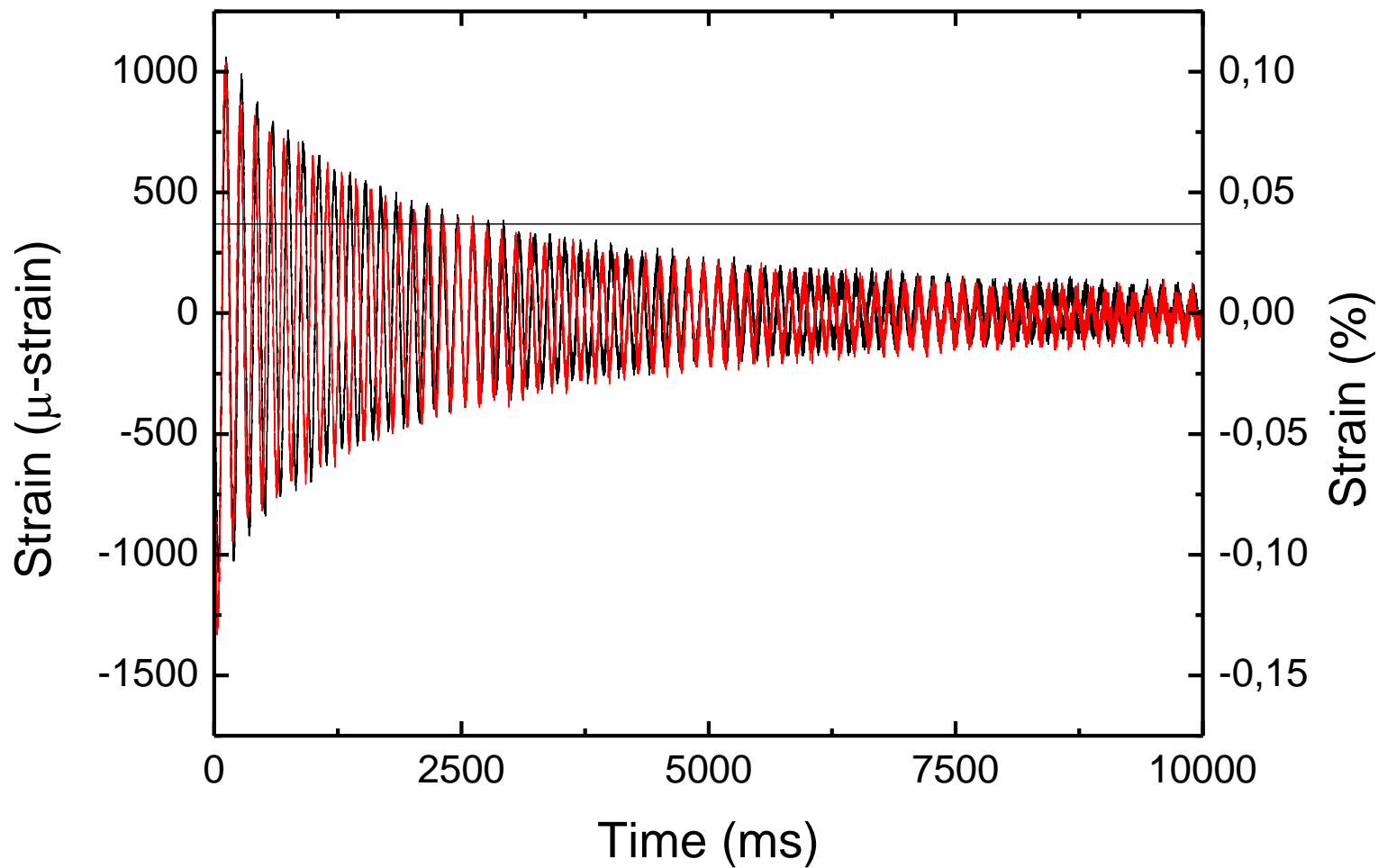
$$\omega_0 = \sqrt{\frac{k}{m}}$$

$$\omega_0 = \sqrt{\frac{1}{LC}}$$

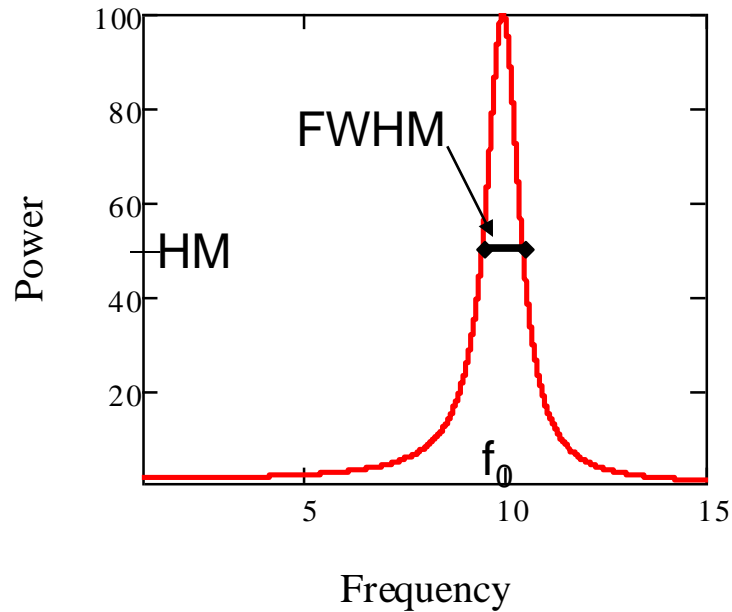
# Q-factor appears as

- Stored energy divided by energy dissipated during one cycle at resonance
- Number of oscillations before the amplitude is reduced by a factor  $1/e$
- Eigenfrequency divided by the Full Width at Half Maximum for the transfer function squared (power)

# Q from decay



# Q from power function

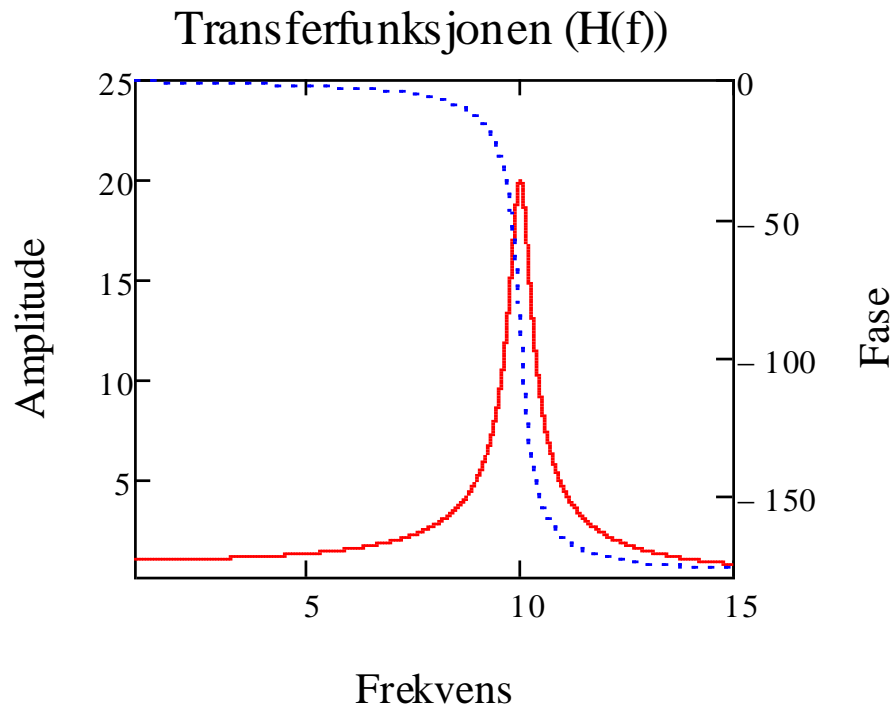


$$Q = \frac{f_0}{FWHM}$$

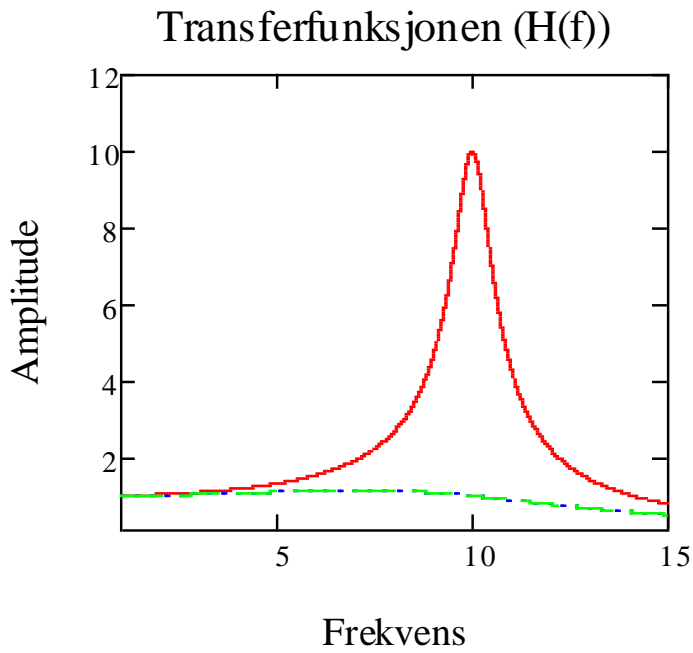
# Amplitude og fase

$$|H(\omega)| = \frac{1}{m \sqrt{\left(\omega^2 - \omega_0^2\right)^2 + \frac{\omega^2 \cdot \omega_0^2}{Q^2}}}$$

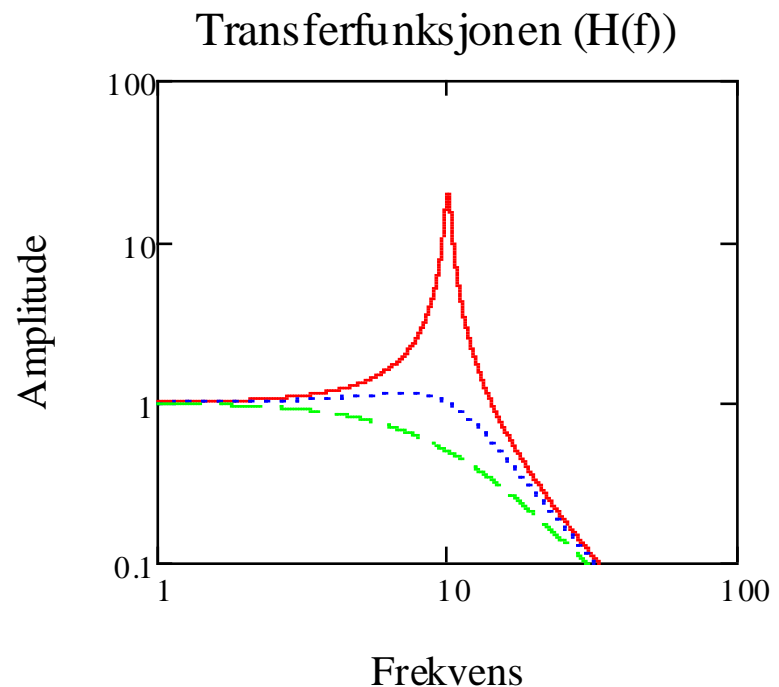
$$\theta(\omega) = \text{atan} \left[ \frac{\omega \cdot \omega_0}{Q \cdot \left(\omega^2 - \omega_0^2\right)} \right]$$



# Amplitude Q=1/2,1,10



Lineære akser



Logaritmiske akser

Kritisk dempning (se kompendiet):  $\zeta = \frac{1}{2Q} = 1$

# Resonans og fase

Arbeid utført av kraften på svingesystemet

$$W = \int F dx = \int F \frac{dx}{dt} dt = \int F j\omega x dt$$

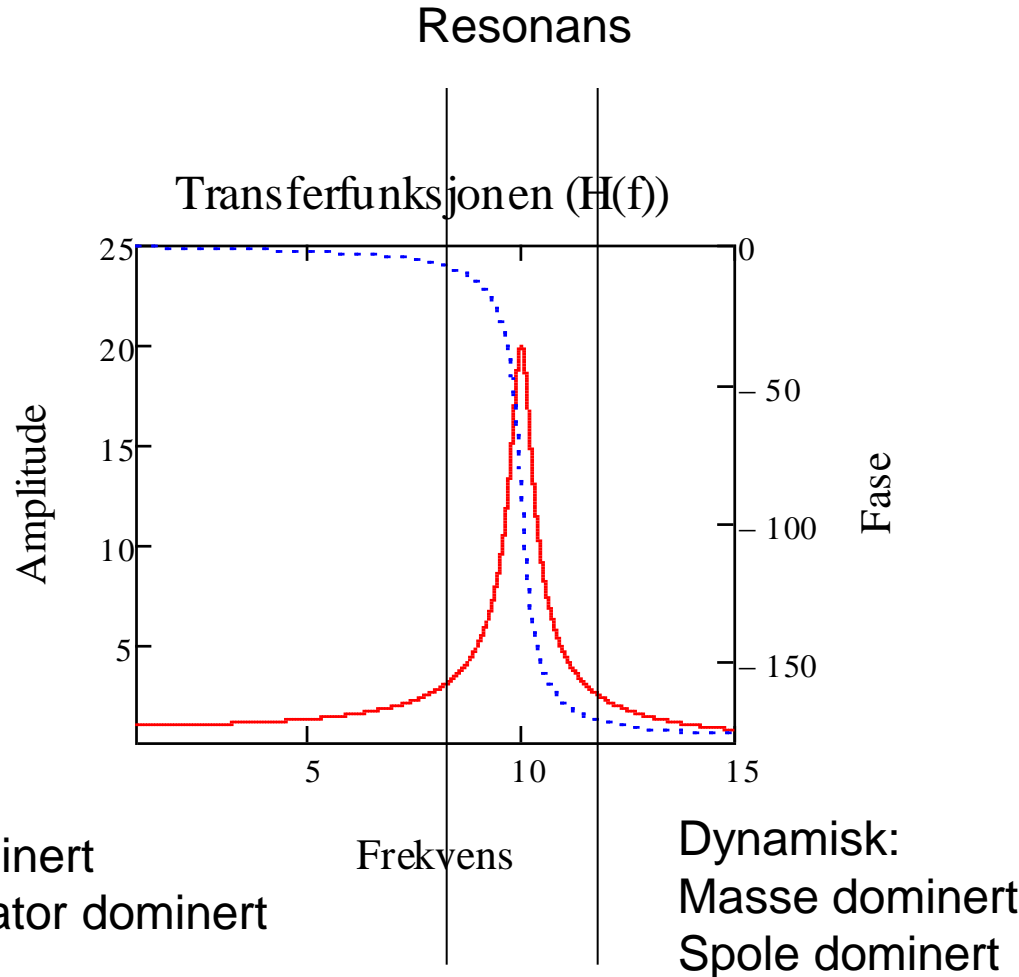
Hvis kraft og posisjon er i fase:

$$W = \int \operatorname{Re}(f_0 e^{j\omega t}) \operatorname{Re}(j\omega x_0 e^{j\omega t}) dt = \omega x_0 f_0 \int \cos(\omega t) \sin(\omega t) dt \approx 0$$

Hvis posisjonen henger 90 grader etter kraften:  $x_0 = \frac{f_0}{j\omega_0 \gamma}$

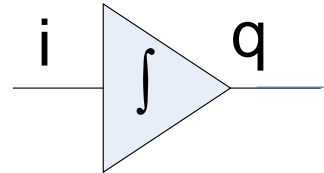
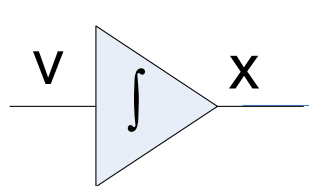
$$W = \int \operatorname{Re}(f_0 e^{j\omega t}) \operatorname{Re}\left(j\omega \frac{f_0}{j\omega_0 \gamma} e^{j\omega t}\right) dt = \frac{1}{\gamma} f_0^2 \int \cos(\omega t) \cos(\omega t) dt \neq 0$$

# Frekvens regimer



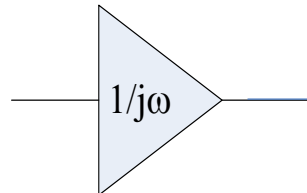
# Blokkfunksjonsbeskrivelse

- Tegner alltid integrasjon

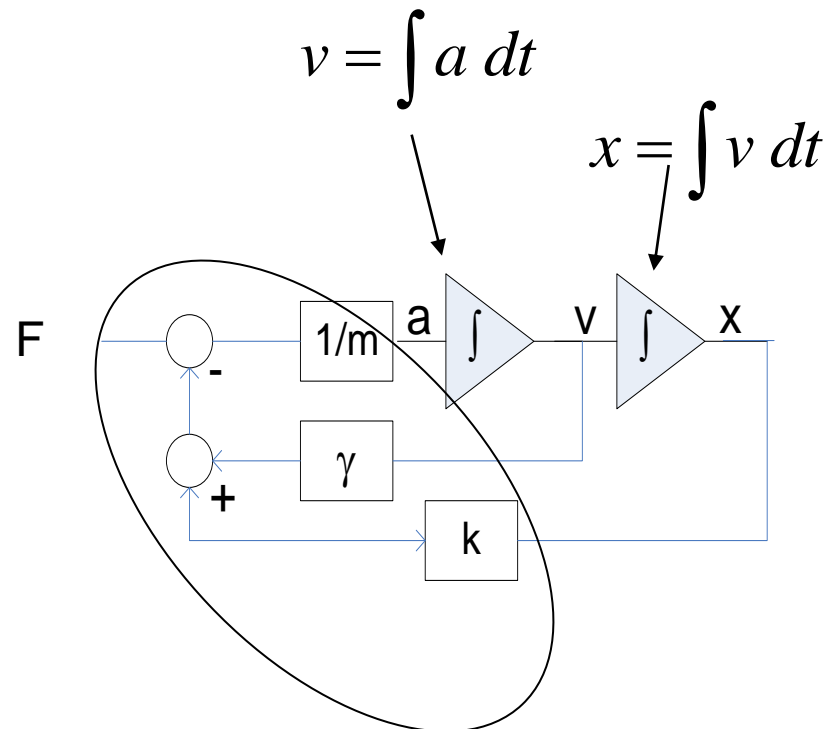


- Med antagelsen  $f = C_1 e^{j\omega t}$   
får vi  $\int f dt = \frac{1}{j\omega} C_1 e^{j\omega t} +$

- Derfor skriver vi ofte

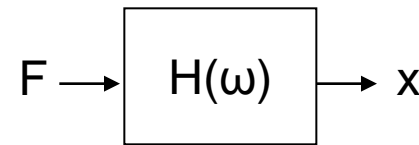
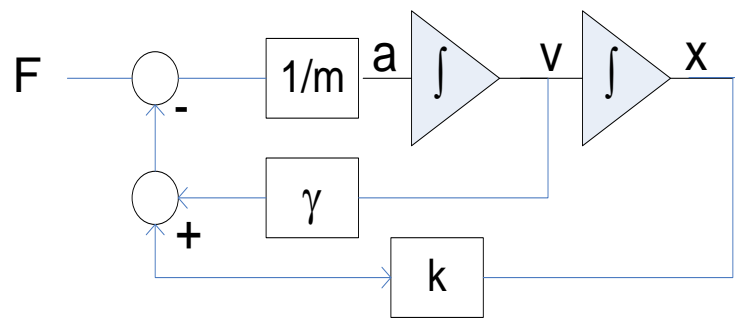


# Blokkfunksjon for svingesystem



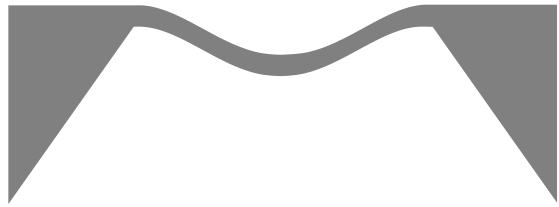
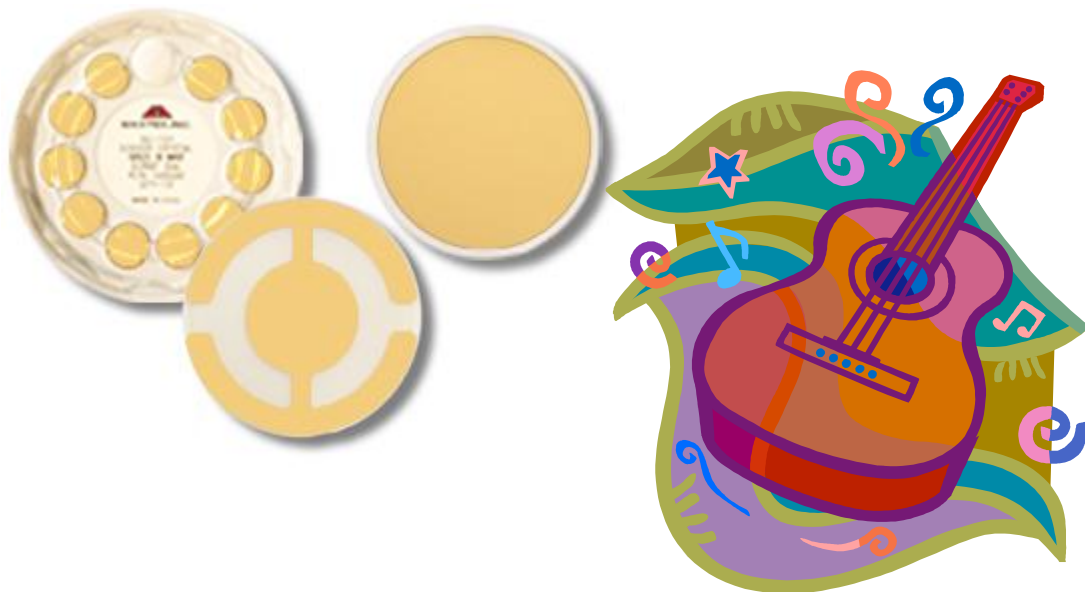
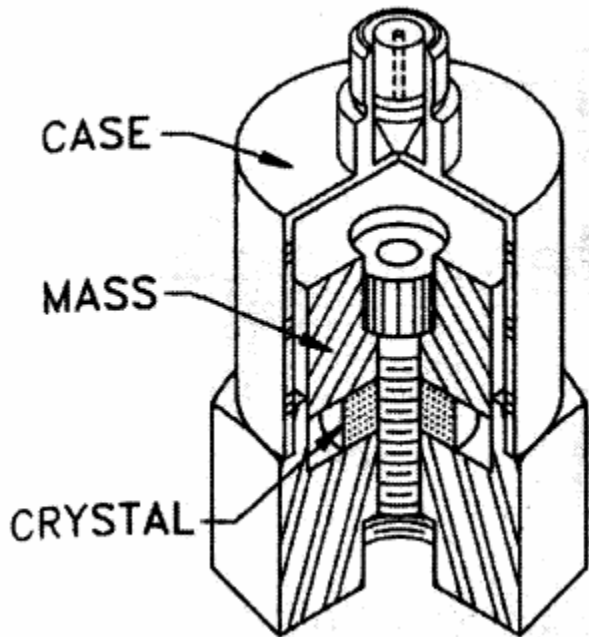
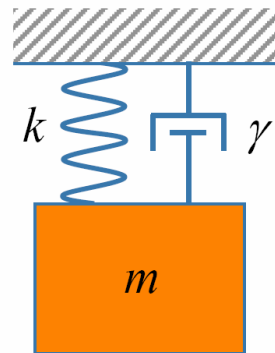
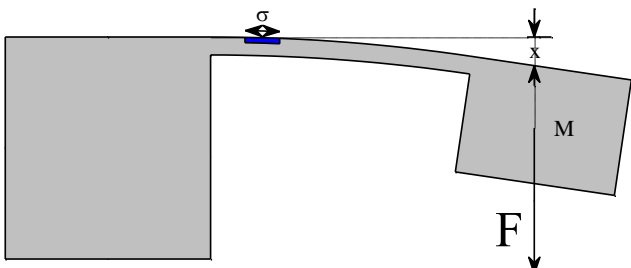
$$a = \frac{1}{m} (F - (\gamma v + kx))$$

# Transferfunksjonen



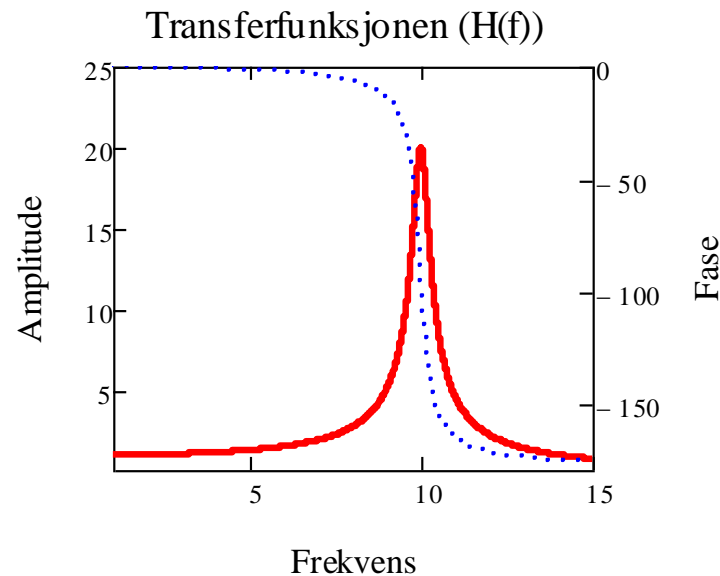
$$H(\omega) = \frac{x_0}{f_0} = \frac{1}{k + j\omega\gamma - m\omega^2}$$

# Examples



# Resonerende sensorer - 1

- Eksiterer et svingesystem
- Finner/følger resonanstoppen
  - Sveip
  - Faselåst sløyfe
  - Selvoscillerende krets
- Avlede størrelser som bestemmer resonansfrekvensen



# Resonerende sensorer - 2

- Enkelte sensorer benytter resonans for å få økt følsomhet

Fig. 5

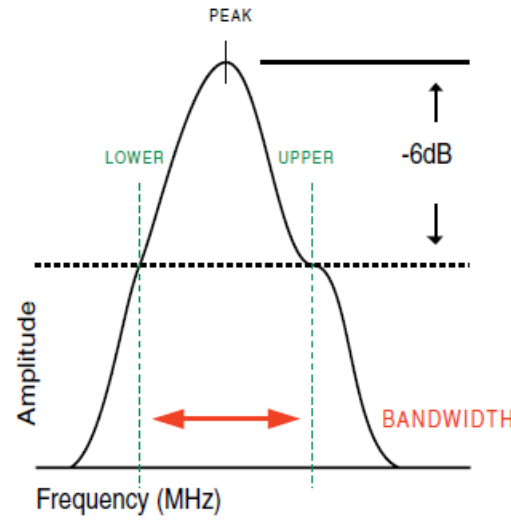
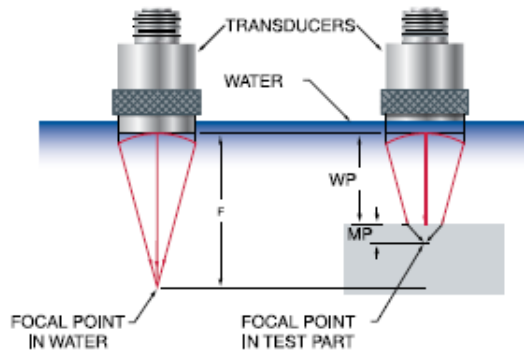
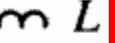
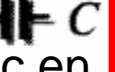


Fig. 18



# Analogy

**Table 3.4.** Mechanical, Thermal, and Electrical Analogies

MECHANICAL	THERMAL	ELECTRICAL	
MASS  Kinetic energy $F=M \frac{d(v)}{dt}$	CAPACITANCE  $Q=C \frac{dT}{dt}$	INDUCTOR  Magnetic en $V=L \frac{di}{dt}$	CAPACITOR  $i=C \frac{dV}{dt}$
SPRING  Potential energy $F=k \int v dt$	CAPACITANCE  $T=\frac{1}{C} \int Q dt$	CAPACITOR  Electrostatic en $v=\frac{1}{C} \int i dt$	INDUCTOR  $i=\frac{1}{L} \int V dt$
DAMPER  $F=bv$	RESISTANCE  $\Delta T=RQ$ $Q=\frac{I}{R} (T_2 - T_1)$	RESISTOR  $V=RI$	RESISTOR  $i=\frac{V}{R}$

Force control

Voltage control

Current control